



Тиристор низкочастотный

T152-125-12



Средний прямой ток				I_{TAV}	125 А							
Повторяющееся импульсное напряжение в закрытом состоянии				U_{DRM}	100 - 1200 В							
Повторяющееся импульсное обратное напряжение				U_{RRM}								
Время выключения				t_q	63, 100, 160, 250 мкс							
U_{DRM}, U_{RRM} , В	100	200	300	400	500	600	700	800	900	1000	1100	1200
Класс по напряжению	1	2	3	4	5	6	7	8	9	10	11	12
T_j , °C	− 60 ÷ 125											

ПРЕДЕЛЬНО ДОПУСТИМЫЕ ЗНАЧЕНИЯ ПАРАМЕТРОВ

Обозначение параметра	Наименование, единица измерения	Тип тиристора		Условия установления норм на параметры
		T152-100	T152-125	
U_{DRM} , U_{RRM}	Повторяющееся импульсное напряжение в закрытом состоянии и повторяющееся импульсное обратное напряжение, В, для класса:	1 2 4 6 8 10 11 12	100 200 400 600 800 1000 1100 1200	$T_{jm} = 125$ °C , $t_i = 10$ мс, $f = 50$ Гц
U_{DSM} , U_{RSM}	Неповторяющееся импульсное напряжение в закрытом состоянии и неповторяющееся импульсное обратное напряжение, В, для класса:	1 2 4 6 8 10 11 12	110 225 450 670 900 1100 1200 1300	$T_{jm} = 125$ °C, импульс одиночный, $t_i = 10$ мс
U_D, U_R	Постоянное напряжение в закрытом состоянии и постоянное обратное напряжение, В	$0,6U_{DRM}$ (U_{RRM})		$T_c = 85$ °C
U_{DWM} , U_{RWM}	Рабочее импульсное напряжение в закрытом состоянии и рабочее импульсное обратное напряжение, В	$0,8U_{DRM}$ (U_{RRM})		$T_c = 85$ °C
$(dU_D/dt)_{crit}$	Критическая скорость нарастания напряжения в закрытом состоянии, В/мкс,	2 4 6 7	50 200 500 1000	$T_{jm} = 125$ °C, $t_u = 200$ мс , $U_D = 0,67U_{DRM}$
I_{DRM} I_{RRM}	Повторяющийся импульсный обратный ток и повторяющийся импульсный ток в закрытом состоянии, мА, не более	6		$T_j = 25$ °C , $U_D = U_{DRM}$, $U_R = U_{RRM}$
		17		$T_{jm} = 125$ °C , $U_D = U_{DRM}$, $U_R = U_{RRM}$

Параметры открытого состояния

Обозначение параметра	Наименование, единица измерения	Тип тиристора		Условия установления норм на параметры
		T152-100	T152-125	
$I_{T(AV)}$	Максимально допустимый средний ток в открытом состоянии, А	100	125	$T_c = 85 \text{ }^{\circ}\text{C}$, $t_i = 10 \text{ мс}$, $f = 50 \text{ Гц}$
I_{TRMS}	Действующий ток в открытом состоянии, А	157	196	$T_c = 85 \text{ }^{\circ}\text{C}$
I_{TSM}	Ударный ток в открытом состоянии, кА	2,50		$T_{jm} = 125 \text{ }^{\circ}\text{C}$, $U_R = 0$, $t_i = 10 \text{ мс}$, импульс одиночный
		2,75		$T_j = 25 \text{ }^{\circ}\text{C}$, $U_R = 0$, $t_i = 10 \text{ мс}$, импульс одиночный
U_{TM}	Импульсное напряжение в открытом состоянии, В, не более	1,90	1,75	$T_j = 25 \text{ }^{\circ}\text{C}$, $I_T = 3,14 I_{T(AV)}$
$U_{T(TO)}$	Пороговое напряжение в открытом состоянии, В	1,0		$T_{jm} = 125 \text{ }^{\circ}\text{C}$
r_T	Динамическое сопротивление в открытом состоянии, Ом	0,0029	0,0019	$T_{jm} = 125 \text{ }^{\circ}\text{C}$
I_H	Ток удержания, мА, не более	120		$T_j = 25 \text{ }^{\circ}\text{C}$, $U_D = 12 \text{ В}$
I_L	Ток включения, мА, не более	210		$T_j = 25 \text{ }^{\circ}\text{C}$, $U_D = 12 \text{ В}$, $I_G = 3I_{GT}$ $t_G = 50 \text{ мс}$
$I_{T(AV)}$	Средний ток в открытом состоянии, А (с типовым охладителем)	28	30	$T_a = 40 \text{ }^{\circ}\text{C}$, естественное охлаждение, охладитель O251

Параметры переключения

Обозначение параметра	Наименование, единица измерения	Тип тиристора		Условия установления норм на параметры
		T152-100	T152-125	
$(di_T/dt)_{crit}$	Критическая скорость нарастания тока в открытом состоянии, А/мкс	160		$T_{jm} = 125 \text{ }^{\circ}\text{C}$, $U_D = 0,67U_{DRM}$, $f = 1-5 \text{ Гц}$, $I_T = 2I_{T(AV)}$, $I_{FG} = 3I_{GT}$, $t_G = 50 \text{ мкс}$
t_{gt}	Время включения, мкс, не более	10		$T_{jm} = 125 \text{ }^{\circ}\text{C}$, $U_D = 100 \text{ В}$, $I_T = I_{T(AV)}$,
t_{gd}	Время задержки, мкс, не более	2		$I_{FG} = 3I_{GT}$, $t_G = 50 \text{ мкс}$
Q_{rr}	Заряд восстановления, мкКл, не более	180		$T_{jm} = 125 \text{ }^{\circ}\text{C}$, $I_T = I_{T(AV)}$, $t_i = 250 \text{ мкс}$, $(di_T/dt)_f = 5 \text{ A/мкс}$, $U_R = 100 \text{ В}$
t_{rr}	Время обратного восстановления, мкс, не более	10		
t_q	Время выключения по основной цепи, мкс, не более, для группы: 2 3 4 5	250 160 100 63		$T_{jm} = 125 \text{ }^{\circ}\text{C}$, $I_T = I_{T(AV)}$, $U_D = 0,67U_{DRM}$, $U_R = 100 \text{ В}$, $t_u = 200 \text{ мкс}$, $du/dt = 50 \text{ В/мкс}$

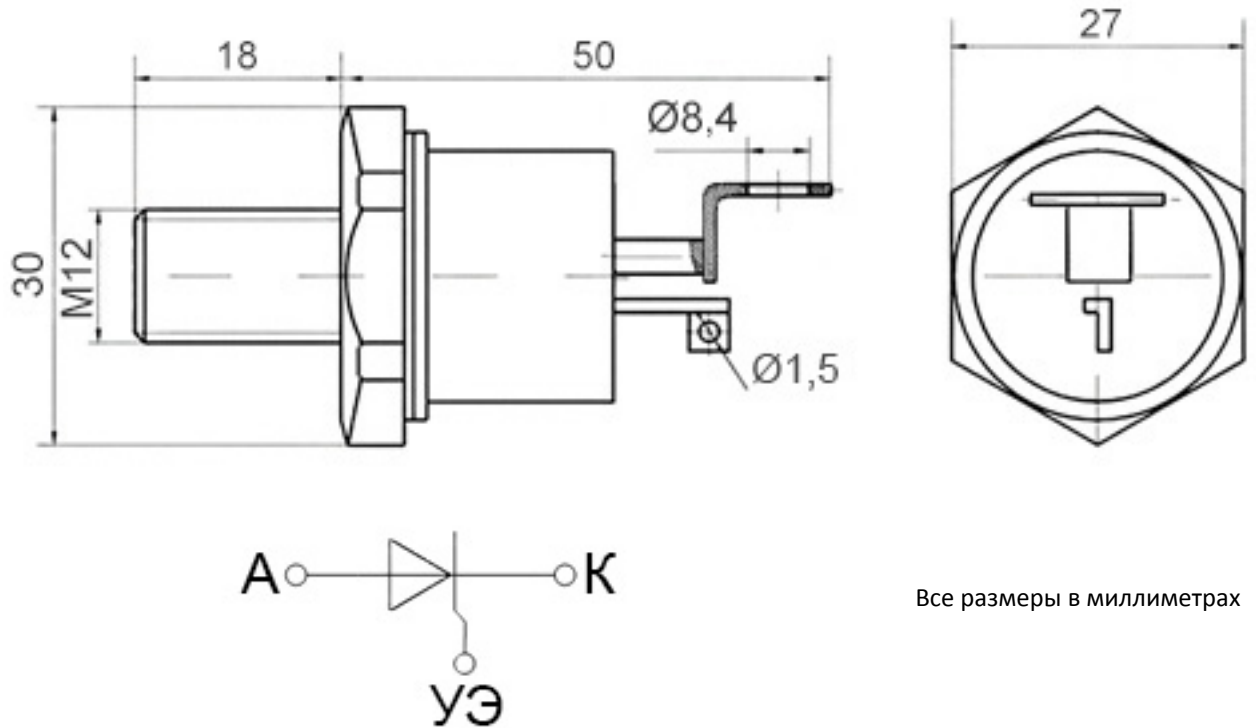
Параметры управления

Обозначение параметра	Наименование, единица измерения	Тип тиристора		Условия установления норм на параметры
		T152-100	T152-125	
I_{GT}	Отпирающий постоянный ток управления, мА, не более	150		$T_j = 25^\circ\text{C}, U_D = 12 \text{ В}$
		400		$T_j = \text{минус } 50^\circ\text{C}, U_D = 12 \text{ В}$
		450		$T_j = \text{минус } 60^\circ\text{C}, U_D = 12 \text{ В}$
U_{GT}	Отпирающее постоянное напряжение управления, В, не более	3,0		$T_j = 25^\circ\text{C}$
		4,5		$T_j = \text{минус } 50^\circ\text{C}$
		4,8		$T_j = \text{минус } 60^\circ\text{C}$
U_{GD}	Неотпирающее постоянное напряжение управления, В, не менее	0,3		$T_{jm} = 125^\circ\text{C}, U_D = 0,67U_{DRM},$ $du_D/dt = 5 \text{ В/мкС}$

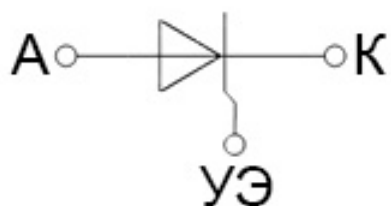
Тепловые параметры

Обозначение параметра	Наименование, единица измерения	Тип тиристора		Условия установления норм на параметры
		T152-100	T152-125	
T_{jm}	Максимально допустимая температура перехода, $^\circ\text{C}$	125		
T_{jmin}	Минимально допустимая температура перехода, $^\circ\text{C}$	минус 50 минус 60 для УХЛ2.1		
T_{stg}	Максимально допустимая температура хранения, $^\circ\text{C}$	50 (60 для Т3 и ОМ2.1)		
$T_{stg\ min}$	Минимально допустимая температура хранения, $^\circ\text{C}$	минус 50 минус 60 для УХЛ2.1		
$R_{thj\bar{n}}$	Тепловое сопротивление переход-корпус, $^\circ\text{C}/\text{Вт}$, не более	0,23	0,20	Постоянный ток
R_{thch}	Тепловое сопротивление корпус-охладитель, $^\circ\text{C}/\text{Вт}$, не более	0,15		Естественное охлаждение. Охладитель О251.
R_{thja}	Тепловое сопротивление переход-среда (с охладителем), $^\circ\text{C}/\text{Вт}$, не более	2,50	2,47	Постоянный ток.

ГАБАРИТНЫЕ РАЗМЕРЫ



Все размеры в миллиметрах



A - анод;

K - катод;

УЭ - управляющий электрод;

Масса, не более – 78 г.

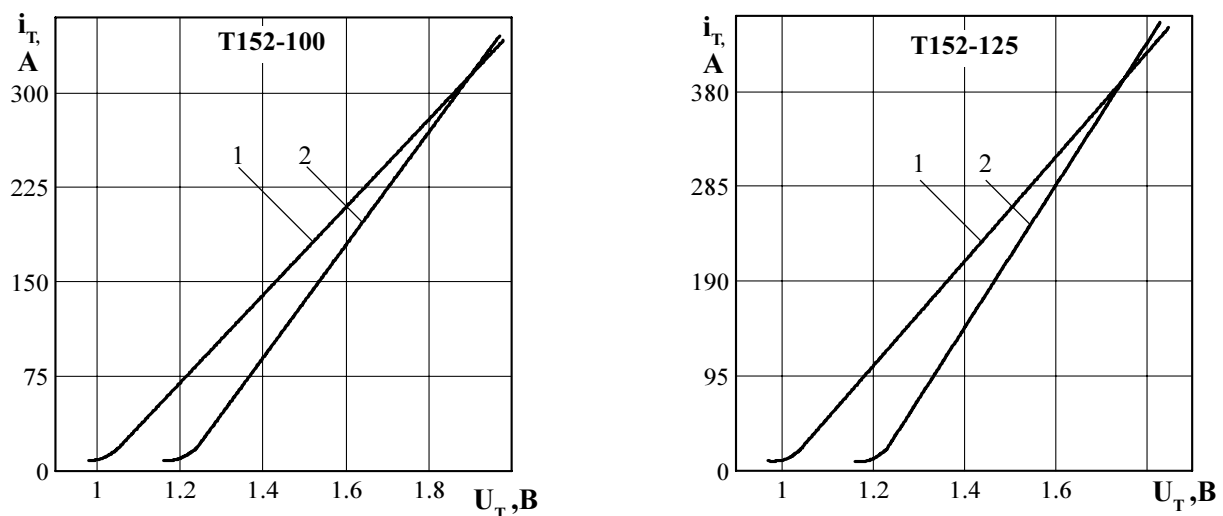


Рисунок 1 - Предельная вольтамперная характеристика в открытом состоянии при температуре перехода 25°C (1) и максимальной температуре перехода T_{jm} (2) $I_T = 3,14I_{T(\text{AV})}$

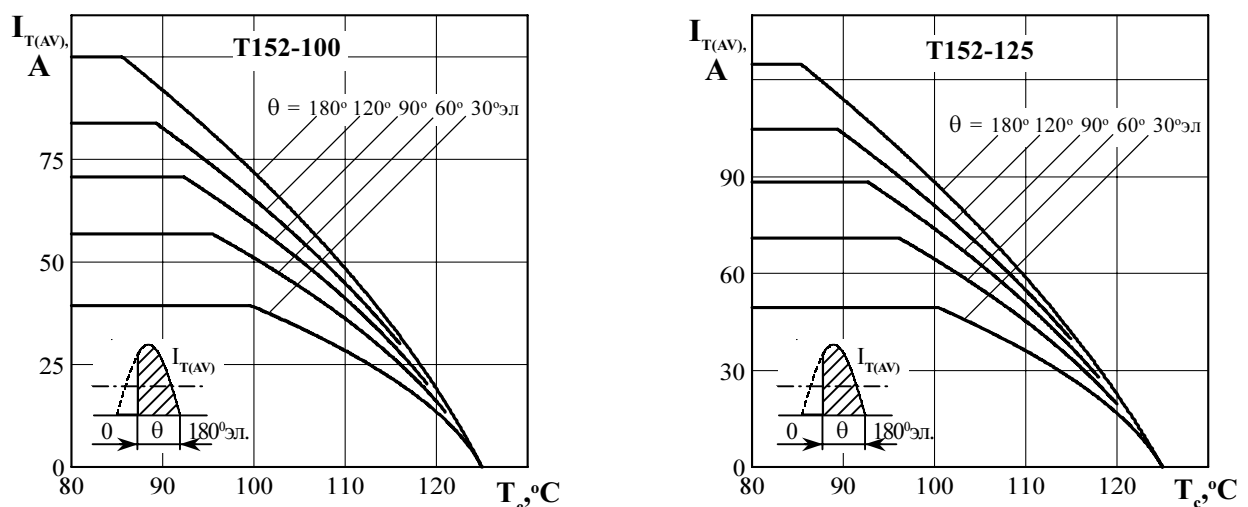


Рисунок 2 - Зависимость допустимого среднего тока в открытом состоянии $I_{T(\text{AV})}$ от температуры корпуса T_c для токов синусоидальной формы частотой $f = 50 \text{ Гц}$

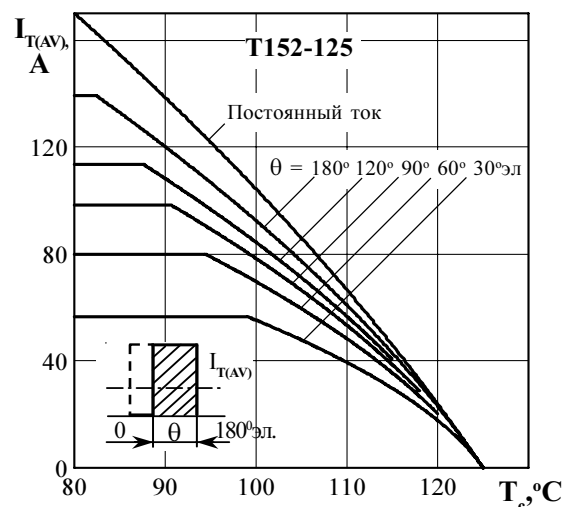
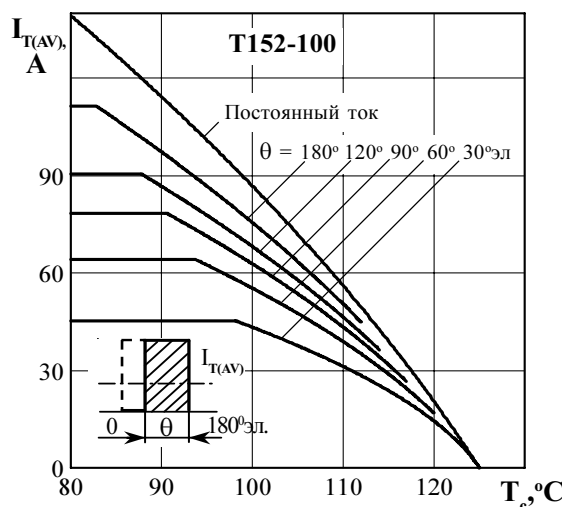


Рисунок 3 - Зависимость допустимого среднего тока в открытом состоянии $I_{T(AV)}$ от температуры корпуса T_c для токов прямоугольной формы частотой $f = 50$ Гц и постоянного тока

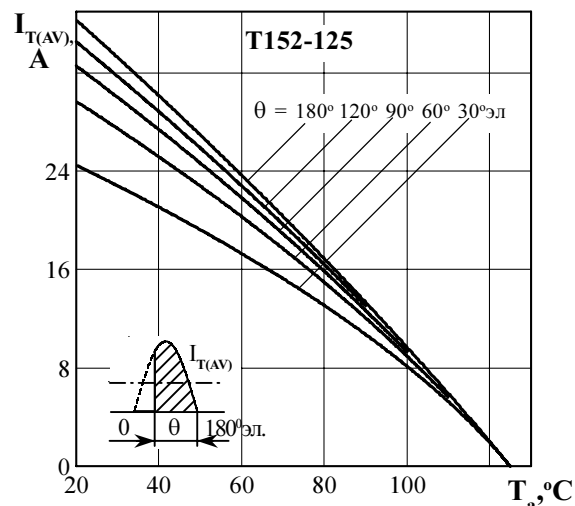
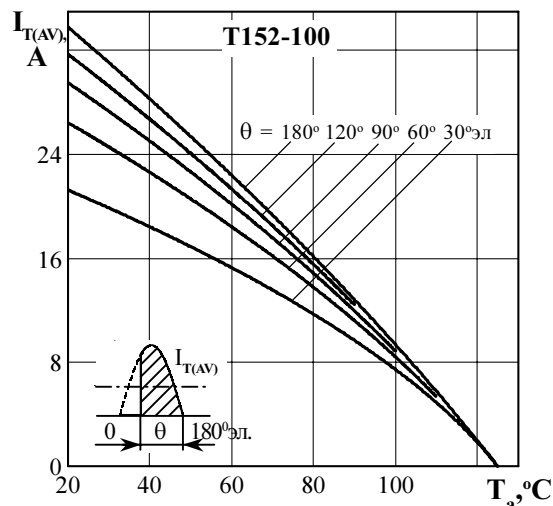


Рисунок 4 - Зависимость допустимого среднего тока в открытом состоянии $I_{T(AV)}$ от температуры окружающей среды T_a при естественном охлаждении на типовом охладителе при различных углах проводимости для токов синусоидальной формы частотой $f = 50$ Гц

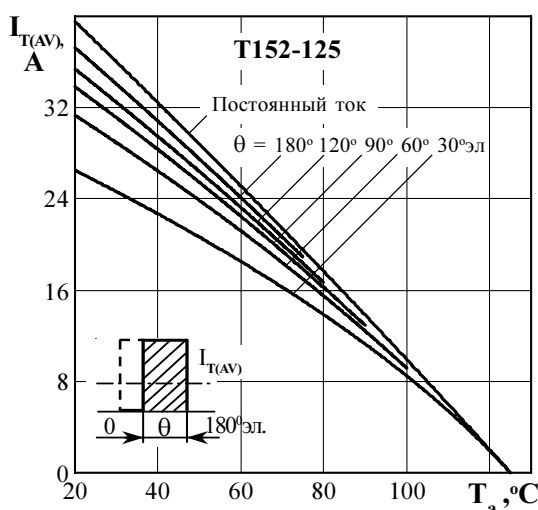
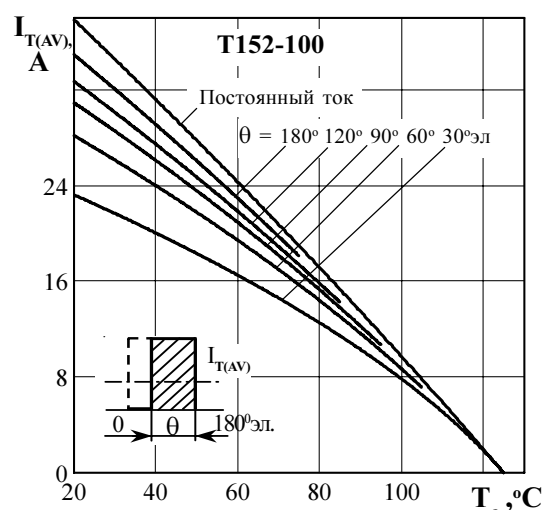


Рисунок 5 - Зависимость допустимого среднего тока в открытом состоянии $I_{T(AV)}$ от температуры окружающей среды T_a при естественном охлаждении на типовом охладителе при различных углах проводимости для токов прямоугольной формы частотой $f = 50$ Гц и постоянного тока

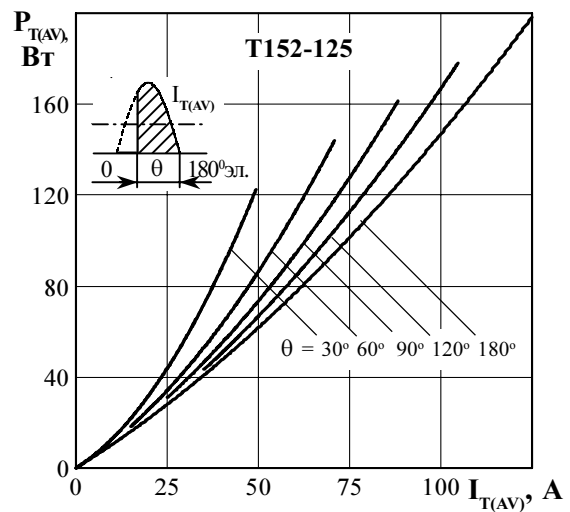
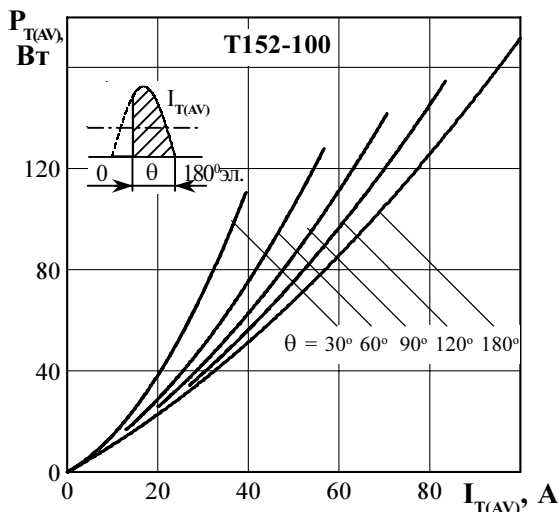


Рисунок 6 - Зависимость средней рассеиваемой мощности в открытом состоянии $P_{T(AV)}$ от среднего тока в открытом состоянии $I_{T(AV)}$ синусоидальной формы частотой $f = 50$ Гц

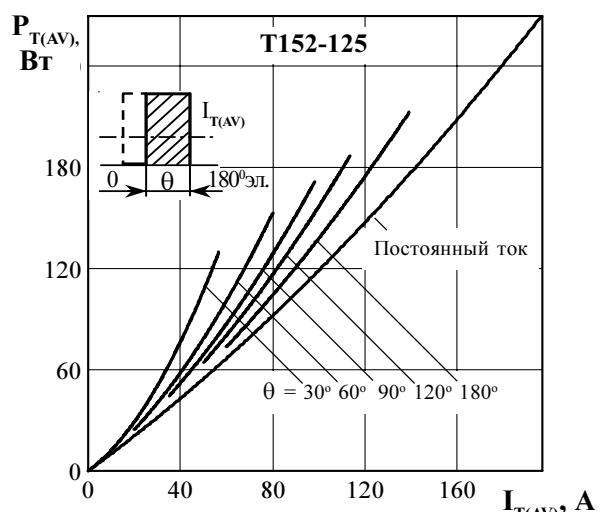
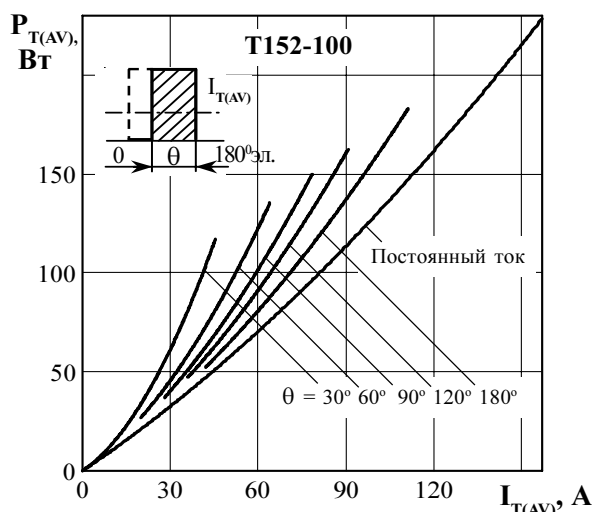


Рисунок 7 - Зависимость средней рассеиваемой мощности в открытом состоянии $P_{T(AV)}$ от среднего тока в открытом состоянии $I_{T(AV)}$ прямоугольной формы частотой $f = 50$ Гц и постоянного тока

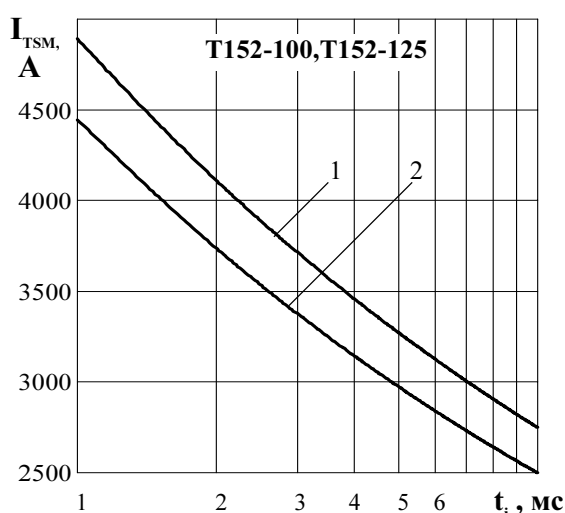


Рисунок 8 - Зависимость допустимой амплитуды ударного тока в открытом состоянии I_{TSM} от длительности импульса тока t_i при исходной температуре структуры $T_j = 25^\circ\text{C}$ (1) и максимальной температуре структуры T_{jm} (2)

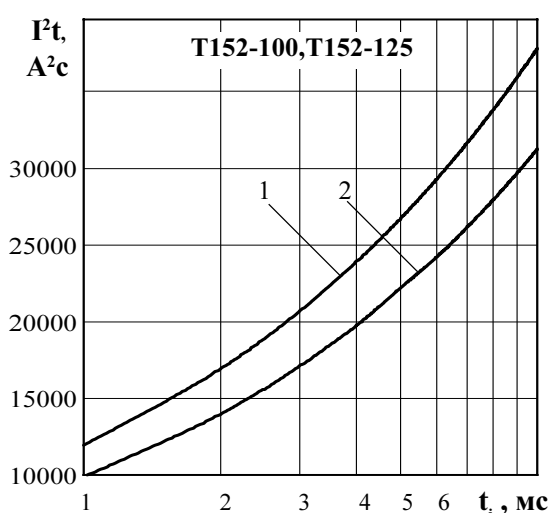


Рисунок 9 - Зависимость защитного показателя I^2t от длительности импульса тока t_i при исходной температуре структуры $T_j = 25^\circ\text{C}$ (1) и максимальной температуре структуры T_{jm} (2)

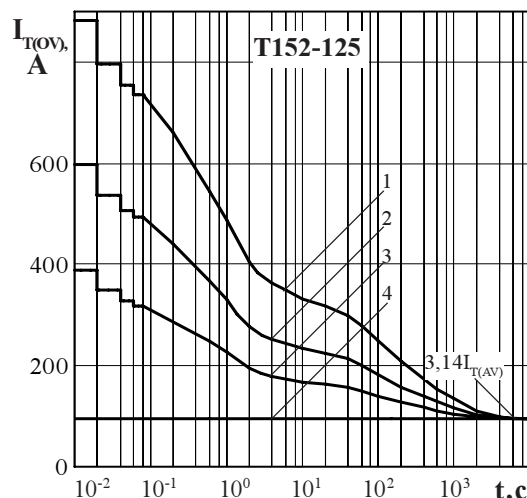
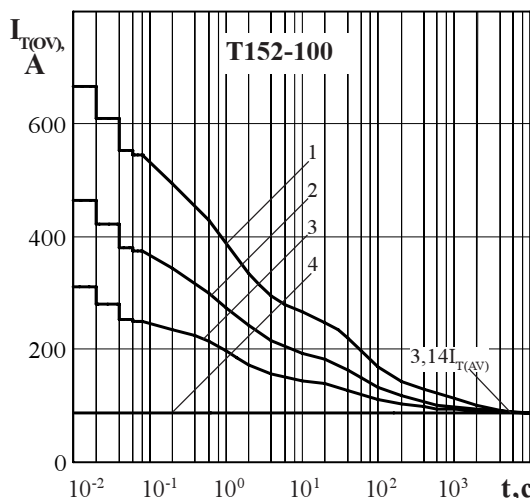


Рисунок 10 - Зависимость допустимой амплитуды тока перегрузки в открытом состоянии $I_{T(OV)}$ синусоидальной формы частотой $f = 50$ Гц от длительности перегрузки t при температуре окружающей среды $T_a = 40$ °C и при отношении тока, предшествующего перегрузке, I_T к допустимому среднему току с охладителем $I_{T(AV)}$ равному $k = I_T / I_{T(AV)}$; $k = 0$ (1); 0,5 (2); 0,75 (3); 1,0 (4).

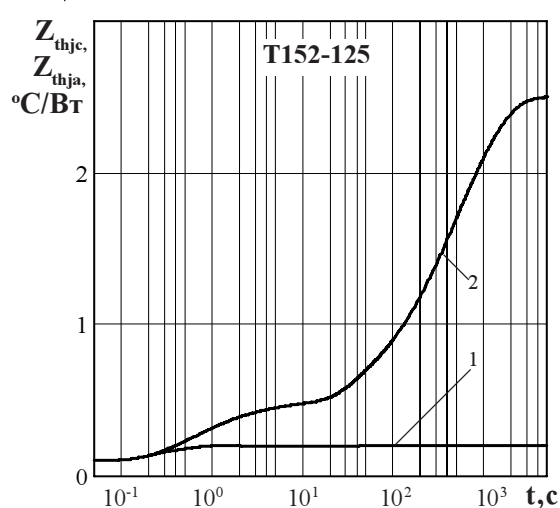
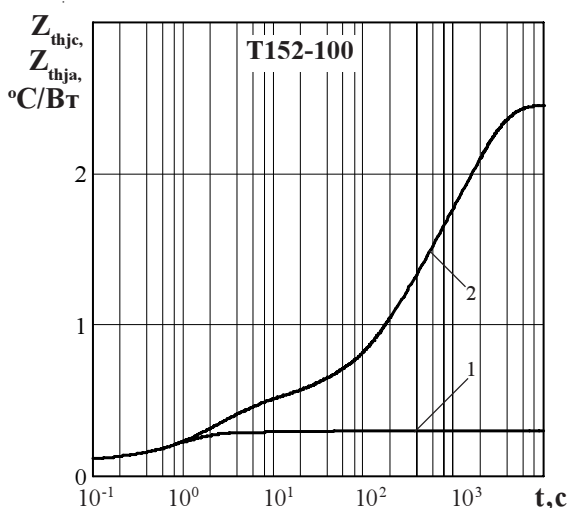
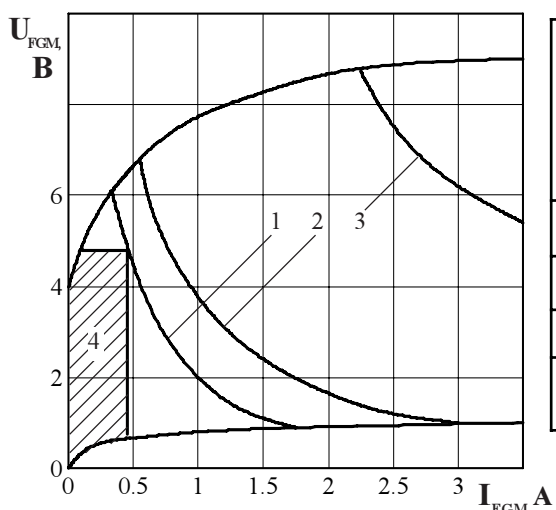


Рисунок 11 - Зависимость теплового сопротивления переход - корпус Z_{thjc} (1) и переход- среда Z_{thja} (2) от времени t при естественном охлаждении $T_a = 40$ °C на типовом охладителе



Позиция на рисунке	Скважность	Длительность импульса тока управления t_g , мс	Допустимая импульсная мощность управления, P_{GFM} , Вт
1	1	Пост. ток	2,0
2	2	10	3,8
3	10	2	19

4 - область негарантированного отпирания при
 $T_{jm} = \text{минус } 60$ °C

Рисунок 12 - Пределевые характеристики цепи управления .

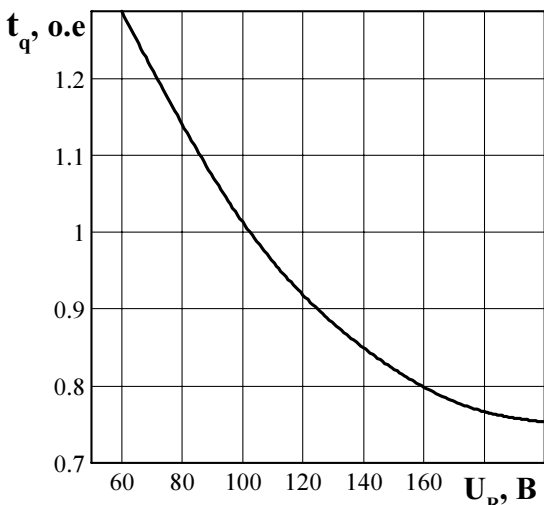


Рисунок 13 - Зависимость времени выключения t_q (о.е.) от обратного напряжения U_R при максимальной температуре перехода $T_{jm} = 125$ °C; $I_T = I_{T(AV)}$; $(di/dt)_f = 5$ A/мкс; $dU_D/dt = 50$ В/мкс; $U_D = 0,67 U_{DRM}$

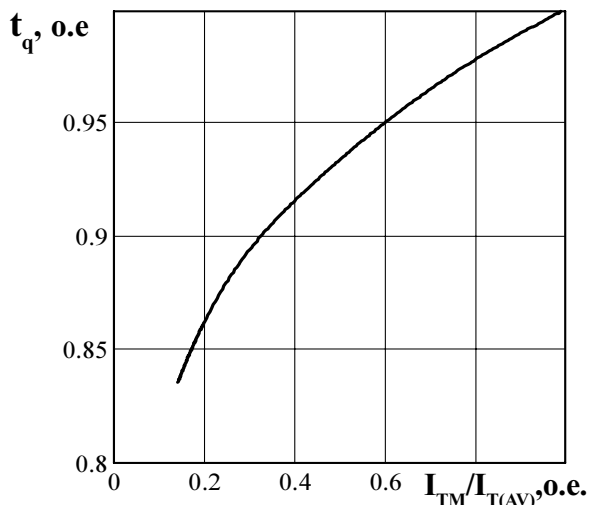


Рисунок 14 - Зависимость времени выключения t_q (о.е.) от амплитуды предшествующего тока в открытом состоянии $I_T/I_{T(AV)}$ (о.е.) при $T_{jm} = 125$ °C; $U_R = 100$ В; $(di/dt)_f = 5$ A/мкс; $dU_D/dt = 50$ В/мкс; $U_D = 0,67 U_{DRM}$

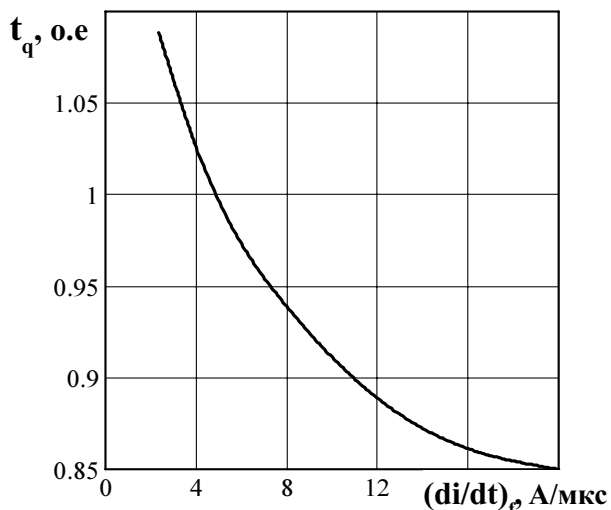


Рисунок 15 - Зависимость времени выключения t_q (о.е.) от скорости спада тока в открытом состоянии $(di/dt)_f$ при $T_{jm} = 125$ °C; $I_T = I_{T(AV)}$; $U_R = 100$ В; $dU_D/dt = 50$ В/мкс; $U_D = 0,67 U_{DRM}$

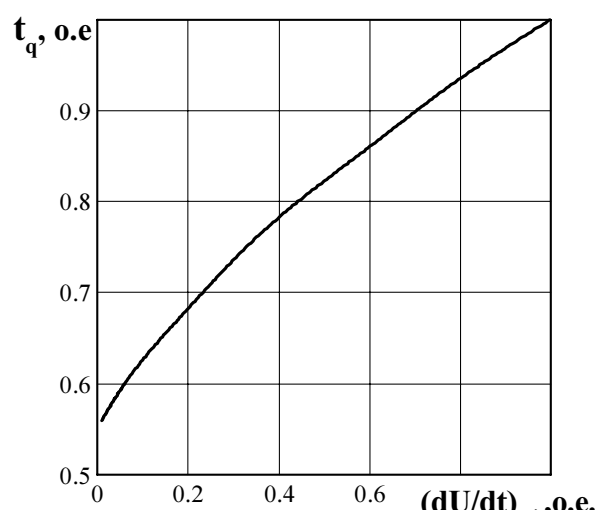


Рисунок 16 - Зависимость времени выключения t_q (о.е.) от скорости нарастания напряжения в закрытом состоянии dU_D/dt при $T_{jm} = 125$ °C; $I_T = I_{T(AV)}$; $U_D = 0,67 U_{DRM}$; $U_R = 100$ В; $(di/dt)_f = 5$ A/мкс

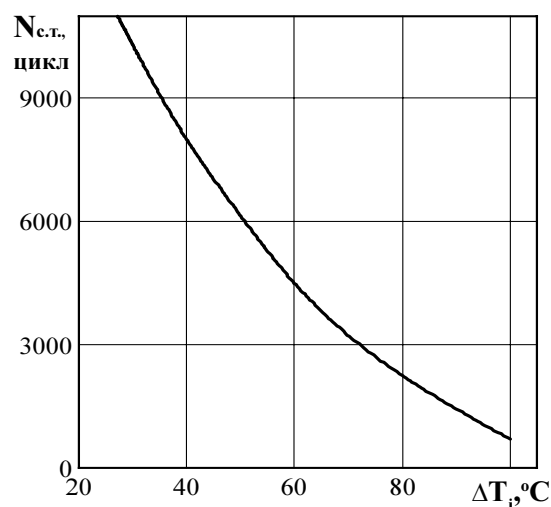


Рисунок 19 - Зависимость максимально допустимого числа циклов $N_{c.t.}$ от перепада температуры перехода ΔT_j при циклической токовой нагрузке.